

Méthode des Vol. finis pour les problèmes de conduction

Cas 2D

Ref: - Versteeg & Malalasekka
- Patankar

Considérons l'éq. de diffusion 2-D stationnaire:

$$\frac{\partial}{\partial x} \left(\Gamma \frac{\partial \phi}{\partial x} \right) + \frac{\partial}{\partial y} \left(\Gamma \frac{\partial \phi}{\partial y} \right) + S_{\phi} = 0 \quad (1)$$

La figure (1) représente une portion du domaine \mathbb{D} sur lequel est définie l'éq. (1) ainsi que la numérotation adoptée en 2-D:

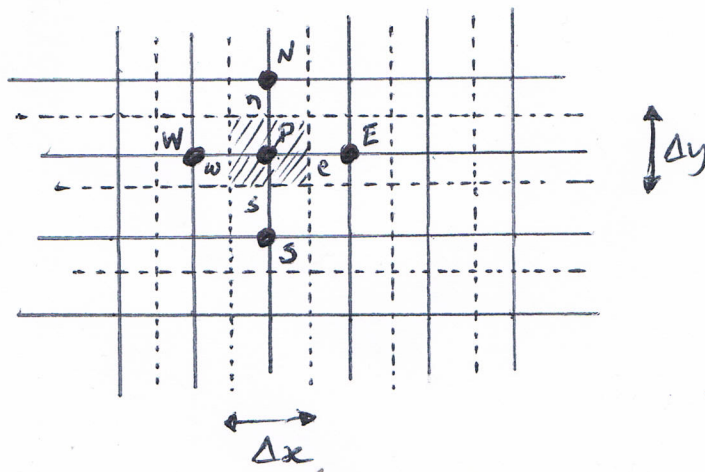


Figure - 1 -

- Par rapport au cas 1-D nous avons rajouté 02 nœuds supplémentaires notés (N) et (S)
- L'intégration de l'eq. (1) sur le vol. finis autour de P s'écrit :

$$\int_{\Delta V} \frac{\partial}{\partial x} \left(\Gamma \frac{\partial \varphi}{\partial x} \right) dx \cdot dy + \int_{\Delta V} \frac{\partial}{\partial y} \left(\Gamma \frac{\partial \varphi}{\partial y} \right) dx \cdot dy + \int_{\Delta V} S_p dV = 0 \quad (2)$$

posons $A_e = A_w = \Delta y$ et $A_n = A_s = \Delta x$ nous obtenons :

$$\left[\Gamma_e A_e \left(\frac{\partial \varphi}{\partial x} \right)_e - \Gamma_w A_w \left(\frac{\partial \varphi}{\partial x} \right)_w \right] + \left[\Gamma_n A_n \left(\frac{\partial \varphi}{\partial y} \right)_n - \Gamma_s A_s \left(\frac{\partial \varphi}{\partial y} \right)_s \right] + \bar{S} \Delta V = 0 \quad (3)$$

En utilisant l'approximation introduite précédemment les différents termes de l'eq. (3) s'écrivent :

$$\Gamma_e A_e \frac{\partial \varphi}{\partial x} \Big|_e = \Gamma_e A_e \frac{(\varphi_e - \varphi_p)}{\delta x_{pe}} \quad (3-1)$$

$$\Gamma_w A_w \frac{\partial \varphi}{\partial x} \Big|_w = \Gamma_w A_w \frac{(\varphi_p - \varphi_w)}{\delta x_{wp}} \quad (3-2)$$

$$\Gamma_n A_n \frac{\partial \varphi}{\partial y} \Big|_n = \Gamma_n A_n \frac{(\varphi_n - \varphi_p)}{\delta y_{pn}} \quad (3-3)$$

$$\Gamma_s A_s \frac{\partial \varphi}{\partial y} \Big|_s = \Gamma_s A_s \frac{(\varphi_p - \varphi_s)}{\delta y_{sp}} \quad (3-4)$$

Le terme source est linéarisé comme suit

$$\bar{S} \Delta V = S_u + S_p \varphi_p \quad (3-5)$$

L'équation (3) s'écrit donc :

$$P_e A_e \frac{(\varphi_E - \varphi_P)}{\delta x_{PE}} - P_w A_w \frac{(\varphi_P - \varphi_W)}{\delta x_{WP}} + P_n A_n \frac{(\varphi_N - \varphi_P)}{\delta y_{PN}} -$$

$$P_s A_s \frac{(\varphi_P - \varphi_S)}{\delta y_{SP}} + \bar{S} \Delta V = 0 \quad (4)$$

On peut réarranger l'éq. (4) comme suit :

$$\left[\frac{P_w A_w}{\delta x_{WP}} + \frac{P_e A_e}{\delta x_{PE}} + \frac{P_s A_s}{\delta y_{SP}} + \frac{P_n A_n}{\delta y_{PN}} - S_P \right] \varphi_P =$$

$$\left[\frac{P_w A_w}{\delta x_{WP}} \right] \varphi_W + \left[\frac{P_e A_e}{\delta x_{PE}} \right] \varphi_E + \left[\frac{P_s A_s}{\delta y_{SP}} \right] \varphi_S + \left[\frac{P_n A_n}{\delta y_{PN}} \right] \varphi_N + S_u \quad (5)$$

L'éq. (5) s'écrit de manière générale :

$$\boxed{a_P \varphi_P = a_W \varphi_W + a_E \varphi_E + a_S \varphi_S + a_N \varphi_N + S_u} \quad (6)$$

avec :

	a_W	a_E	a_S	a_N	a_P
(7)	$\frac{P_w A_w}{\delta x_{WP}}$	$\frac{P_e A_e}{\delta x_{PE}}$	$\frac{P_s A_s}{\delta y_{SP}}$	$\frac{P_n A_n}{\delta y_{PN}}$	$a_W + a_E + a_S + a_N - S_P$

L'éq. (6) est écrite pour chaque nœud du domaine discretisé en tenant compte des conditions aux limites, un système d'équations algébriques en résulte, sa résolution donne permet de calculer φ aux différents nœuds. (3)

Cas 3-D



L'équation de diffusion stationnaire s'écrit en 3-D comme suit :

$$\frac{\partial}{\partial x} \left(\Gamma \frac{\partial \phi}{\partial x} \right) + \frac{\partial}{\partial y} \left(\Gamma \frac{\partial \phi}{\partial y} \right) + \frac{\partial}{\partial z} \left(\Gamma \frac{\partial \phi}{\partial z} \right) + S\phi = 0 \quad (3)$$

Le domaine tridimensionnel est subdivisé en petits cubes centré en P avec cette fois-ci 6 nœuds voisins notés : E, W, S, N, B et T comme indiqués sur la figure - 2 -

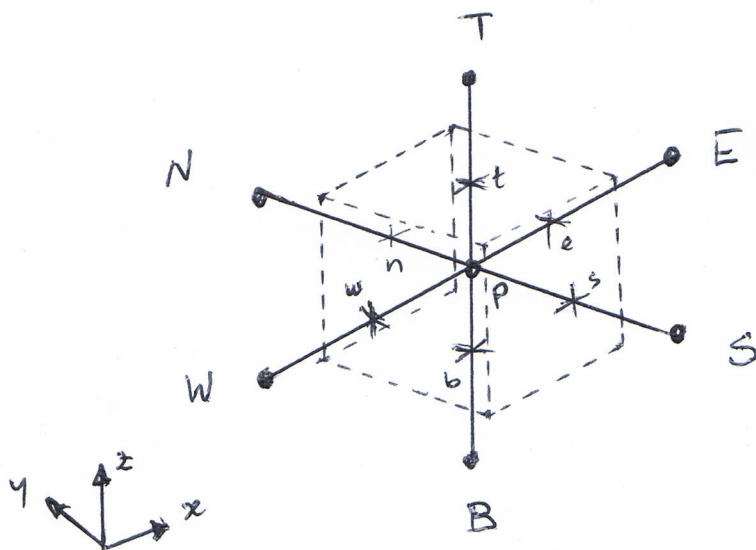


Figure - 2 -

L'intégration de l'équation (8) sur le volume finis défini sur la figure 2 donne :

$$\left[\bar{p}_e A_e \left(\frac{\partial \varphi}{\partial x} \right)_e - \bar{p}_w A_w \left(\frac{\partial \varphi}{\partial x} \right)_w \right] + \left[\bar{p}_n A_n \left(\frac{\partial \varphi}{\partial y} \right)_n - \bar{p}_s A_s \left(\frac{\partial \varphi}{\partial y} \right)_s \right] + \left[\bar{p}_t A_t \left(\frac{\partial \varphi}{\partial z} \right)_t - \bar{p}_b A_b \left(\frac{\partial \varphi}{\partial z} \right)_b \right] + \bar{S} \Delta V = 0 \quad (9)$$

En utilisant la même procédure utilisée en 1-D et 2-D nous obtenons :

$$\left[\bar{p}_e A_e \frac{(\varphi_E - \varphi_P)}{\delta x_{PE}} - \bar{p}_w A_w \frac{(\varphi_P - \varphi_W)}{\delta x_{WP}} \right] + \left[\bar{p}_n A_n \frac{(\varphi_N - \varphi_P)}{\delta y_{PN}} - \bar{p}_s A_s \frac{(\varphi_P - \varphi_S)}{\delta y_{SP}} \right] + \left[\bar{p}_t A_t \frac{(\varphi_T - \varphi_P)}{\delta z_{PT}} - \bar{p}_b A_b \frac{(\varphi_P - \varphi_B)}{\delta z_{BP}} \right] + (S_u + S_p \varphi_P) = 0 \quad (10)$$

On peut réarranger l'éq. (10) comme précédemment pour obtenir l'éq. générale :

$$a_p \varphi_p = a_w \varphi_w + a_e \varphi_e + a_s \varphi_s + a_n \varphi_n + a_b \varphi_b + a_t \varphi_t + S_u \quad (11)$$

avec :

a_w	a_e	a_s	a_n	a_b	a_t	a_p
$\frac{\bar{p}_w A_w}{\delta x_{WP}}$	$\frac{\bar{p}_e A_e}{\delta x_{PE}}$	$\frac{\bar{p}_s A_s}{\delta y_{SP}}$	$\frac{\bar{p}_n A_n}{\delta y_{PN}}$	$\frac{\bar{p}_b A_b}{\delta z_{BP}}$	$\frac{\bar{p}_t A_t}{\delta z_{PT}}$	$a_w + a_e + a_s + a_n + a_b + a_t - S_p$

L'éq. (11) est écrite pour chaque nœud du domaine discrétisé en tenant compte des conditions aux limites.